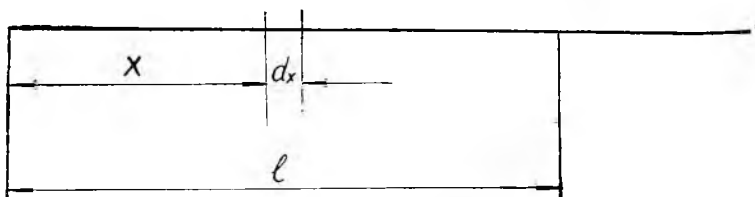


Л. И. ФРИДМАН

**ПРОДОЛЬНЫЕ КОЛЕБАНИЯ СТЕРЖНЯ
ПРИ БЫСТРОМ НАГРЕВЕ**

В работе [1] рассмотрены напряжения в одномерной задаче об объемно-тепловом ударе упругого полупространства и упругого слоя. Приводятся результаты расчета для мгновенного роста температур. В реальных условиях время роста температур всег-



Фиг. 1. Схема стержня

да конечно, поэтому представляет интерес определение зависимости возникающих напряжений от времени нарастания температур.

По-видимому, наиболее просто решение упомянутой задачи может быть получено на основании аналогии с продольными колебаниями прямого стержня. Пусть стержень длины l , ось которого совпадает с осью ox , (фиг. 1) подвергается нагреву на температуру $T(t, x)$, где t — время. Перемещение u сечения x стержня равно:

$$u = u_y + \alpha \int_0^x T dx. \quad (1)$$

Здесь u_y — упругое смещение, вызванное действием инерционных сил,

$\alpha \int_0^x T dx$ — температурное смещение сечения,

α — коэффициент линейного расширения.

Напряжения в сечении x

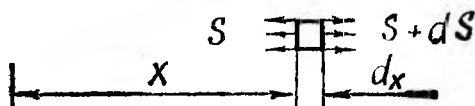
$$\sigma_x = E \frac{\partial u_y}{\partial x} = E \left(\frac{\partial u}{\partial x} - \alpha T \right). \quad (2)$$

На элемент стержня длиной dx действуют усилия (фиг. 2)

$$S = AE \left(\frac{\partial u}{\partial x} - \alpha T \right),$$

$$S + dS = AE \left(\frac{\partial u}{\partial x} + \frac{\partial^2 u}{\partial x^2} dx - \alpha T - \alpha \frac{\partial T}{\partial x} dx \right).$$

Здесь A площадь сечения стержня.



Фиг. 2. Равновесие элемента стержня

Условие равновесия этих сил с учетом сил инерции дает:

$$S + dS - S - \frac{A\gamma dx}{g} \frac{\partial^2 u}{\partial t^2} = 0 \quad (3)$$

или

$$\frac{1}{a^2} \frac{\partial^2 u}{\partial t^2} = \frac{\partial^2 u}{\partial x^2} - \alpha \frac{\partial T}{\partial x}. \quad (4)$$

Здесь $a = \sqrt{\frac{Eg}{\gamma}}$ — скорость звука в материале стержня;

g — ускорение силы тяжести;

γ — удельный вес материала стержня.

Уравнение (4) может быть получено из общих уравнений нестационарной термоупругости [2] и с точностью до постоянных совпадает с уравнением перемещений одномерной задачи для упругого полупространства и упругого слоя [1].

Если температура постоянна по длине стержня, то

$$\frac{1}{a^2} \frac{\partial^2 u}{\partial t^2} = \frac{\partial^2 u}{\partial x^2} \quad (5)$$

при этом на концах $x = 0$ и $x = l$ $\sigma_x = 0$ или

$$\frac{\partial u}{\partial x} = \alpha T \quad (6)$$

$$\text{при } t = 0 \quad u = \frac{\partial u}{\partial x} = \frac{\partial u}{\partial t} = 0 \quad (7)$$

(предполагается, что $T(0, x) = 0$).

Таким образом, точки равномерно нагреваемого стержня перемещаются так же, как точки стержня при продольных колебаниях под действием сил $P(t) = EA\alpha T(t)$, приложенных к концам стержня.

Как известно, решение Даламбера уравнения (5) записывается в виде [3]:

$$u = f(at - x) + \varphi(at + x).$$

Здесь $f(at - x)$ и $\varphi(at + x)$ — произвольные функции, первая из них описывает волну, движущуюся в положительном направлении вдоль оси x со скоростью a , вторая — волну, движущуюся в отрицательном направлении вдоль оси x с той же скоростью.

Если проследить распространение возмущений в стержне, начиная от момента $t = 0$ (см. [4]), то получим:

$$\text{при } m \frac{l}{a} \leq t \leq \left(m + \frac{1}{2}\right) \frac{l}{a} \quad (m = 0, 1, 2, 3 \dots)$$

$$0 \leq x \leq at - ml \quad u = \sum_{i=1}^{m+1} f_i(at - x) + \sum_{i=1}^m \varphi_i(at + x),$$

$$at - ml \leq x \leq (m+1)l - at \quad u = \sum_{i=1}^m f_i(at - x) + \sum_{i=1}^m \varphi_i(at + x),$$

$$(m+1)l - at \leq x \leq l \quad u = \sum_{i=1}^m f_i(at - x) + \sum_{i=1}^{m+1} \varphi_i(at + x),$$

$$\text{при } \left(m + \frac{1}{2}\right) \frac{l}{a} \leq t \leq (m+1) \frac{l}{a} \quad 0 \leq x \leq (m+1)l - at$$

$$u = \sum_{i=1}^{m+1} f_i(at - x) + \sum_{i=1}^m \varphi_i(at + x),$$

$$(m+1)l - at \leq x \leq at - ml$$

$$u = \sum_{i=1}^{m+1} f_i(at - x) + \sum_{i=1}^{m+1} \varphi_i(at + x),$$

$$at - ml \leq x \leq l \quad u = \sum_{i=1}^m f_i(at - x) + \sum_{i=1}^{m+1} \varphi_i(at + x) \quad (8)$$

Подстановка (8) в (6) дает

$$- \sum_{i=1}^{m+1} f'_i(at) + \sum_{i=1}^m \varphi'_i(at) = \alpha T(t),$$

$$- \sum_{i=1}^m f'_i(at - l) + \sum_{i=1}^{m+1} \varphi'_i(at + l) = \alpha T(t). \quad (9)$$

Условия (9) удовлетворяются, если

$$f'_i(at - x) = -(-1)^{i-1} \alpha T \left(\frac{at - x + (i-1)l}{a} \right),$$

$$\varphi'_i(at + x) = (-1)^{i-1} \alpha T \left(\frac{at - x - il}{a} \right). \quad (10)$$

Дифференцируя (8) по x и подставляя (10) в полученные выражения, находим относительные деформации $\frac{\partial u}{\partial x}$ в любой точке стержня.

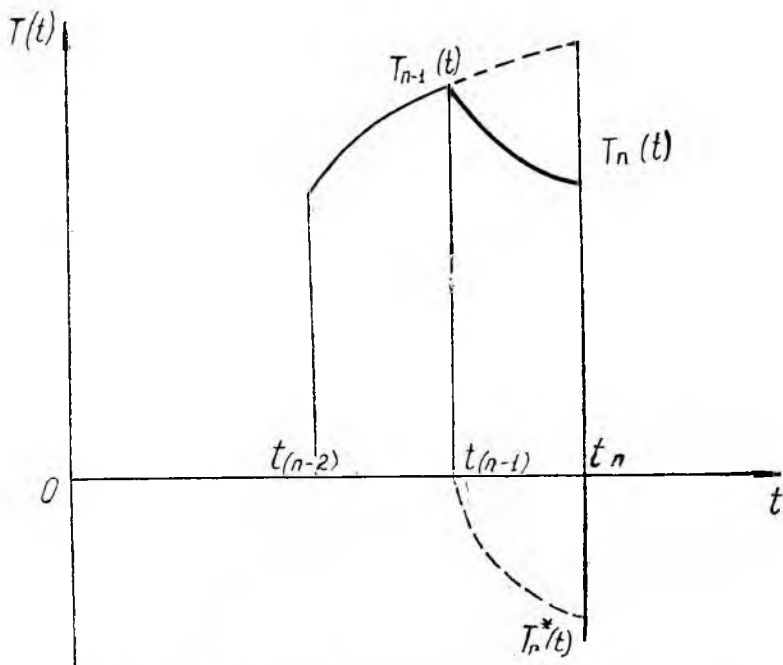
жня в любой момент времени. Если функция $T(t)$ имеет различные аналитические выражения в разные интервалы времени, то температуру $T_n(t)$ для n -го ($n-2, 3 \dots$) интервала (от момента $t = t_{n-1}$ до $t = t_n$ см. Фиг. 3) следует представить как сумму температуры $T_{n-1}(t)$ предыдущего ($n-1$ -го) интервала и дополнительной температуры $T_n^*(t) = T_n(t) - T_{n-1}(t)$. Решение для температуры ($n-1$ -го) варианта известно (последовательно, начиная с $n=2$), поэтому остается найти решение для температуры $T_n^*(t)$, которое для n -го интервала дается выражением (8), так как $T_n^*(t_{n-1}) = 0$. Подставляя $\frac{\partial u}{\partial x}$ в (2), получим

$$\text{при } m \frac{l}{a} \leq t \leq \left(m + \frac{1}{2}\right) \frac{l}{a} \quad (m = 0, 1, 2, \dots)$$

$$0 \leq x \leq at - ml$$

$$\sigma_x = E_\alpha \left[\sum_{i=1}^{m+1} (-1)^{i-1} T \left(\frac{at - x - (i-1)l}{a} \right) + \right. \\ \left. + \sum_{i=1}^m (-1)^{i-1} T \left(\frac{at + x - il}{a} \right) - T(t) \right],$$

$$at - ml \leq x \leq (m+1)l - at$$



Фиг. 3. Изменение температуры по времени

$$\sigma_x = E^\alpha \left[\sum_{i=1}^m (-1)^{i-1} T \left(\frac{at - x - (i-1)l}{a} \right) + \sum_{i=1}^m (-1)^{i-1} \cdot T \left(\frac{at + x - il}{a} \right) - T(t) \right],$$

$$(m+1) - at \leq x \leq l$$

$$\sigma_x = E^\alpha \left[\sum_{i=1}^m (-1)^{i-1} T \left(\frac{at - x - (i-1)l}{a} \right) + \sum_{i=1}^{m+1} (-1)^{i-1} \cdot T \left(\frac{at + x - il}{a} \right) - T(t) \right]$$

$$\text{при } \left(m + \frac{1}{2}\right) \frac{l}{a} \leq t \leq (m+1) \frac{l}{a}$$

$$0 \leq x \leq (m+1)l - at$$

$$\sigma_x = E^\alpha \left[\sum_{i=1}^{m+1} (-1)^{i-1} T \left(\frac{at - x - (i-1)l}{a} \right) + \sum_{i=1}^m (-1)^{i-1} \cdot T \left(\frac{at + x - il}{a} \right) - T(t) \right],$$

$$(m+1)l - at \leq x \leq at - ml$$

$$\sigma_x = E^\alpha \left[\sum_{i=1}^{m+1} (-1)^{i-1} T \left(\frac{at - x - (i-1)l}{a} \right) + \sum_{i=1}^{m+1} (-1)^{i-1} T \left(\frac{at + x - il}{a} \right) - T(t) \right],$$

$$at - ml \leq x \leq l$$

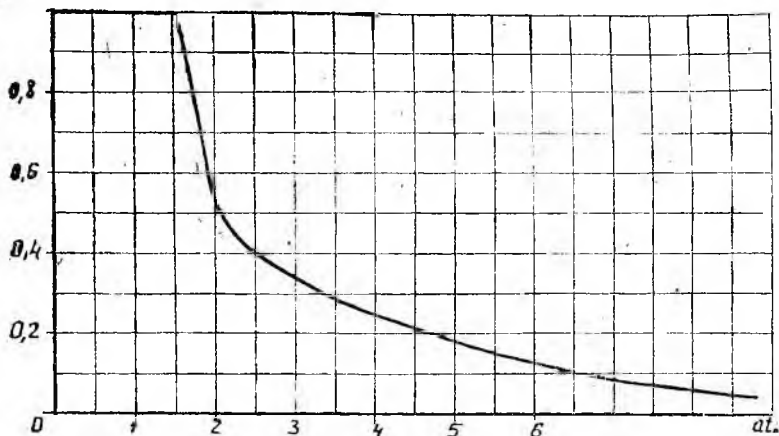
$$\sigma_x = E^\alpha \left[\sum_{i=1}^m (-1)^{i-1} T \left(\frac{at - x - (i-1)l}{a} \right) + \sum_{i=1}^{m+1} (-1)^{i-1} \cdot T \left(\frac{at + x - il}{a} \right) - T(t) \right] \quad (11)$$

Из зависимости (10) интегрированием могут быть определены $f_i(at - x)$ и $\varphi_i(at + x)$ и перемещения u точек стержня по формулам (8).

В качестве примера был рассмотрен нагрев стержня длины l до температуры T_0 . Изменение температуры по времени дается зависимостью:

$$\begin{aligned} 0 \leq t \leq t_0 & \quad T = T_0(kt)^2 \quad (kt_0)^2 = 1 \\ t_0 \leq t & \quad T = T_0 \end{aligned}$$

$$\frac{\sigma_{max}}{\Delta T_0 E}$$



Фиг. 4. Зависимость максимального напряжения от времени нарастания нагрузки

На фиг. 4 приведена зависимость максимального напряжения в стержне от времени нарастания температуры (в безразмерных координатах).

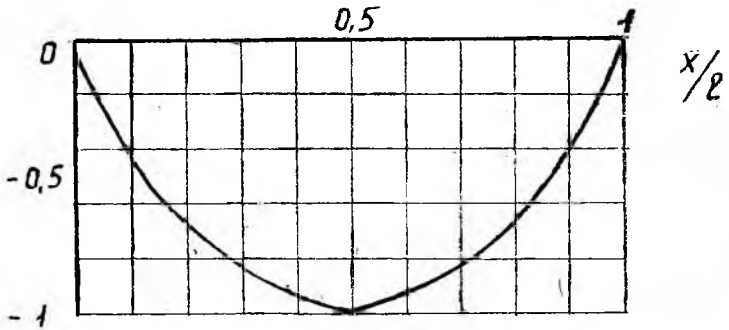
На фиг. 5 а, 5 в приведено распределение напряжений по длине стержня в разные моменты времени, при $\frac{at_0}{l} = \frac{1}{2}$..

Таким образом, при быстром равномерном нагреве стержня возникают продольные колебания, и вследствие этого, напряжения. Величина напряжений зависит от безразмерного времени нарастания температуры $\bar{t}_0 = \frac{at_0}{l}$ и может достигать величины $\sigma_x = \pm E \alpha T_0$ при $0 \ll \frac{at_0}{l} \ll \frac{3}{2}$, где T_0 — температура, которую принимает стержень за время t_0 .

Эти результаты получены для частного случая роста температуры по времени до постоянного значения по квадратичной зависимости. Формулы (8), (10) и (11) дают напряжения и перемещения для произвольной зависимости температуры от времени.

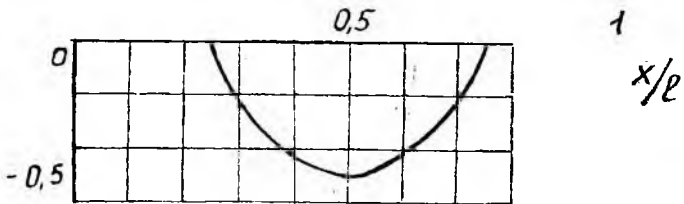
$$\frac{\sigma_x}{E \Delta T_0}$$

$$t = \frac{1}{2} \frac{\ell}{\alpha}$$



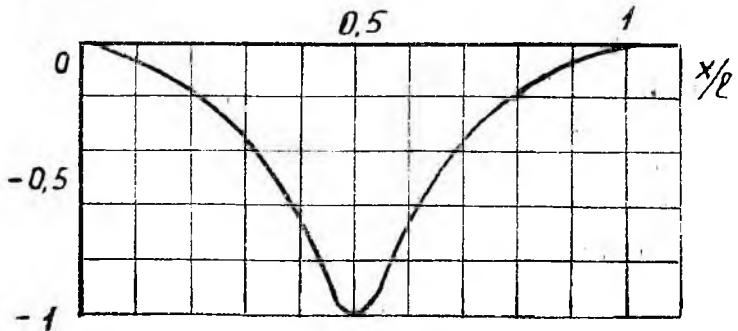
$$\frac{\sigma_x}{E \Delta T_0}$$

$$t = \frac{3}{4} \frac{\ell}{\alpha}$$

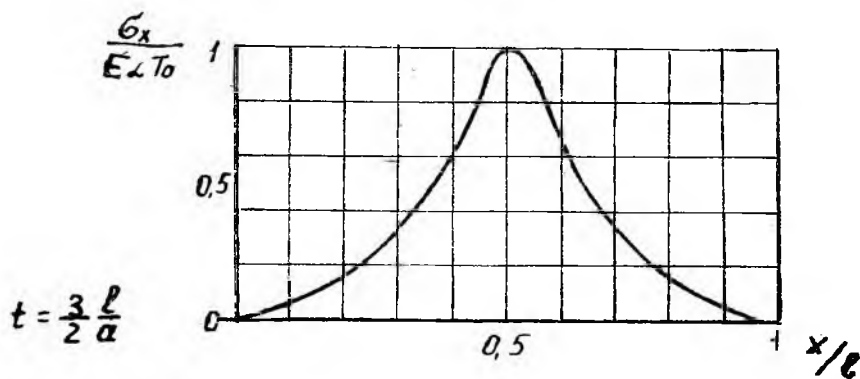
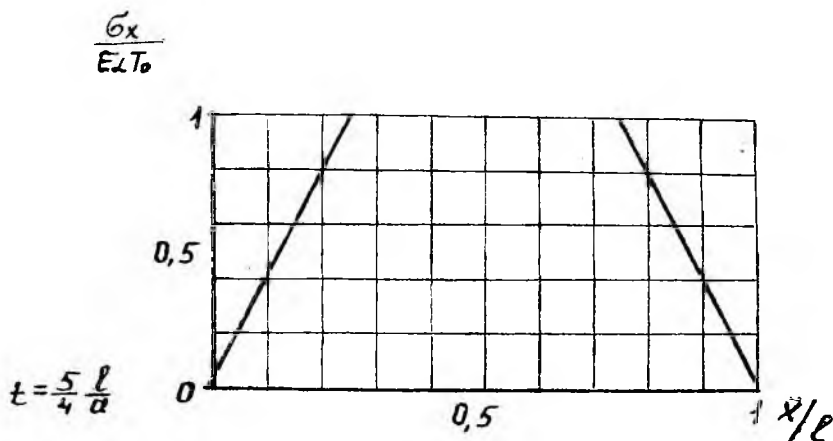


$$\frac{\sigma_x}{E \Delta T_0}$$

$$t = \frac{\ell}{\alpha}$$



Фиг. 5 а. Распределение напряжений по длине стержня в различные моменты времени



Фиг. 5 в. Распределение напряжений по длине стержня в различные моменты времени.

ЛИТЕРАТУРА

1. Ю. Д. Денискин, Д. Д. Шенкер. Напряжения при объемно-тепловом ударе в равномерно-нагреваемых телах. «Механика твердого тела» (инженерный журнал), № 4, 1966.
2. Г. Паркус. Неустановившиеся температурные напряжения. Физматгиз, 1959.
3. С. П. Тимошенко. Колебания в инженерном отделе. Физматгиз, 1959.
4. Л. И. Фридман. Напряжения при продольных колебаниях прямого стержня, вызванных силой на конце. Сб. «Прочность и динамика авиационных двигателей». Вып. 4. «Машиностроение», 1966.